

国产微晶纤维素薄膜用于酶解肽段的分离

张国娣 俞鹤年 杨建平*

(中国科学院上海生化所 六室)

近年来，新发展起来的微晶纤维素薄层层析法已应用于氨基酸、多肽、糖类、核酸衍生物等多种化合物的分析鉴定。其优点是灵敏、简便、分辨率高，图谱清晰，斑点密集。用双相电泳层析，结合 DABITC 方法（即有色 Edman 方法）降解。能测定多肽的氨基酸顺序^[1,2]。为微量测定蛋白质一级结构提供了重要手段。我们采用国产微晶纤维素，经特殊处理，涂于涤纶片基上，试制成 20×20 厘米大小的新型薄膜，经有关单位使用其分离效果与英国进口产品水平相当。浙江黄岩人民化工厂从 1981 年 4 月开始已批量生产。

现将此膜用于慈姑蛋白酶抑制剂和烟草花叶病毒外壳蛋白（TMVP）酶解后的肽段分离并对个别肽段进行了微量氨基酸顺序分析。

一、实验部分

1. 材料、试剂和仪器

慈姑蛋白酶抑制剂和烟草花叶病毒外壳蛋白（TMVP）是本实验室自制。微晶纤维素薄膜（20×20 厘米，0.12 毫米厚为黄岩人民化工厂产品）。化学试剂和溶剂均为分析纯，并经重新处理。荧光胺和 DABITC 试剂系本所东风生化试剂厂产品。聚酰胺薄膜为浙江黄岩实验化学厂产品，电泳仪和电泳槽为本所自制。

2. 电泳层析

(1) 试剂配制 用重蒸水配制两种不同 pH 的缓冲液：pH 4.4（吡啶：乙酸：丙酮：水 = 50:100:375:1975 V/V）；pH 6.4（吡啶：乙酸：水 = 100:4:900 V/V）。层析溶剂：（吡啶：正丁醇：乙酸：水 = 40:60:12:48 V/V）。显色剂：(a) 0.5(W/V) 苛三酮丙酮溶液。(b) 5% 吡

啶溶液和 0.004% 荧光胺丙酮溶液。(c) 0.5% 苛三酮乙醇溶液：3 克苛三酮溶于 30 毫升三甲基吡啶和 100 毫升乙酸、870 毫升乙醇中，再将 3% 溶液用乙醇稀释至 0.5% 溶液。

(2) 样品处理：

(a) 慈姑蛋白酶抑制剂酶解 称取 10 毫克慈姑抑制剂，溶于 0.5 毫升重蒸水，用 0.1N 盐酸调节 pH 至 1.5—2.0，加入 0.4 毫克胃蛋白酶，37℃ 保温 24 小时后，调 pH 至 8.0，停止反应，置于冰箱备用。

(b) 烟草花叶病毒外壳蛋白（TMVP）酶解 称取 20 毫克 TMVP。加入 0.05M NaHCO₃，0.5 毫升，90℃ 热变性 5 分钟，冷却后立即加入 0.4 毫克胰蛋白酶，37℃ 保温 22 小时，反应过程中维持 pH 8.0。然后取出酶解液，调节 pH 至 4—5。停止反应，离心除去沉淀（41 肽），上清液置冰箱备用。

(3) 操作方法：

电泳 (a) 准备 首先将电泳槽用水平仪校正，并接通冷却水。薄膜（20×20 厘米）。在距离底边 3 厘米处，轻轻地划一条点样线。并用电泳缓冲液浸湿后夹于滤纸中轻轻吹去多余的缓冲液，将膜的背面紧贴于电泳槽的平板上，两端搭上纸桥。

(b) 预电泳 电压 400 V，电流 12—20 毫安，(pH 4.4 缓冲液)，5—10 毫安 pH 6.4 缓冲液，通电 5 分钟。

(c) 点样 用定量毛细管取 5—10 微升 TMVP 酶解液或慈姑抑制剂酶解液（约含有 10—15 n mol 样品）。若用 pH 4.4 缓冲液电泳，

* 浙江黄岩人民化工厂。

样品点在靠左边 3 厘米处，电泳时样品只向阴极移动，用 pH6.4 缓冲液电泳，样品点在点样线的 1/3 或 1/2 位置上。点样后立即进行电泳以避免样品扩散。

(d) 电泳 电压、电流条件与预电泳相同，一般 pH4.4 缓冲液通电 3 小时左右，pH6.4 缓冲液电泳则 2 小时左右。根据不同样品选择适当的电泳时间和条件，在电泳过程中，不断地通冷却水使面板冷却。

层析：电泳后，薄膜置于 40—50℃ 下(或室温)干燥，然后放入层析缸中，进行第二相上行层析，展层时间为 6—8 小时(室温)。层析完毕将膜烘干(或室温凉干)。用荧光胺显色，先喷 5% 吡啶丙酮溶液，稍干后，再喷 0.004% W/V，荧光胺丙酮溶液。在 366nm 紫外灯下显荧光斑点，将斑点刮下，其余再喷 0.1—0.5% 苄三酮乙醇溶液，在暗处放置 1—2 天，可见到荧光胺不显色的斑点。

3. 结合 DABITC 法测定肽斑的氨基酸顺序

取 TMVP 酶解图谱，挖下 10 张膜的同一斑点肽，放入有盖塑料离心管 (1×4 厘米) 中，加 200 微升 20% 吡啶(重蒸三次)或 50% 乙酸溶液。用振荡器(本所自制)将其搅匀，然后在台式高速离心机(本所自制)上离心 5 分钟，取上清液置于磨口离心管 (1×7 厘米)，反复洗脱三次，合并清液以 N₂ 气吹干，即可用 DABITC 法^[3,4] 测定肽段的氨基酸顺序。

二、结 果

比较在同一条件下 (pH4.4 电泳层析)，0.5% 苄三酮溶液显色的酶解图谱(见图 1, 2, 3)，国产微晶纤维素薄膜的分离效果与英国进口产品相当。

取 TMVP 酶解图谱中二个肽段 (A、B) 测得顺序如下：

A: 苏、缬、谷氨胱胺、缬、精五肽(42—46 位)

B: 门冬胱胺、精二肽 (91—92 位)

此国产膜也曾用于蛇毒血纤肽 A (16 肽) 和 B (14 肽) 的分离鉴定*，这二种肽段性质非

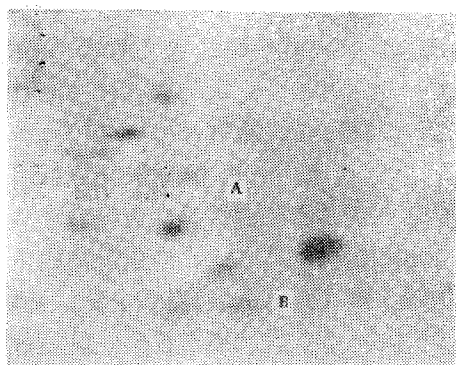


图 1 国产纤维素薄膜，TMVP 蛋白酶解样品图谱

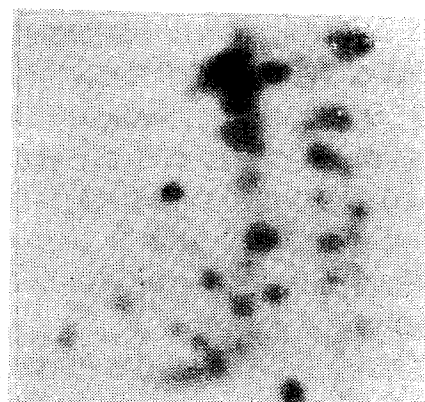


图 2 国产纤维素薄膜，蘑菇蛋白酶抑制剂胃蛋白酶解样品图谱

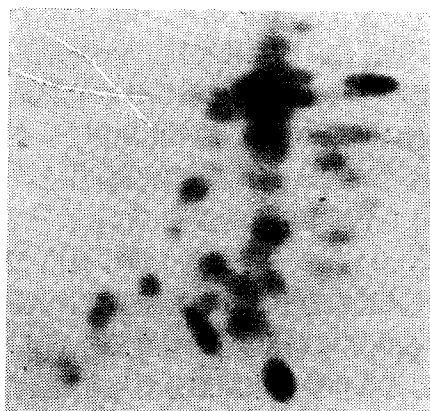


图 3 英国纤维素膜蘑菇蛋白酶抑制剂胃蛋白酶解样品图谱

常接近，等电点也相近，虽仅二个氨基酸之差也
(下转第 43 页)

* 本组管利丰同志研究生论文。

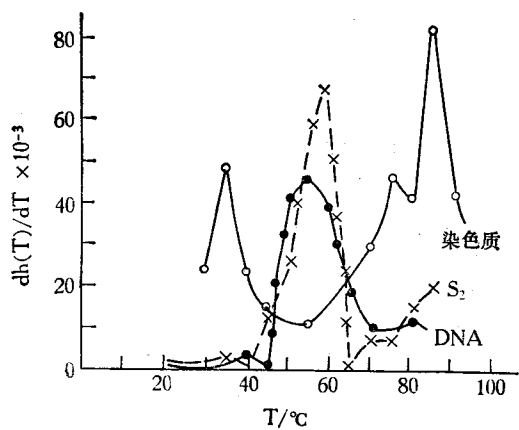


图4 小鼠肝染色质、活性染色质和DNA的熔点温度曲线

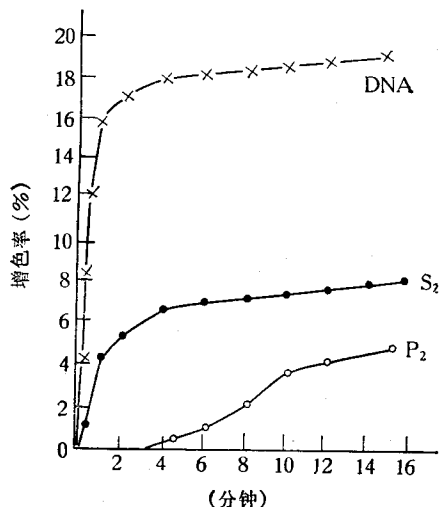


图5 DNase I 降解 DNA 和染色质的动力学曲线
(S_2 和 P_2) 的动力学曲线 (见图5) 从图5看出, S_2 对 DNase I 降解的敏感性与 DNA 相

似。即在反应进行 4 分钟后增色率已无明显变化。 P_2 对 DNase I 的敏感性却不同于 S_2 , 当反应进行到 4 分钟时几乎无增色效应。说明 P_2 对 DNase I 不敏感。然而对 DNase I 降解的敏感性差异正是区别活性与非活性染色质的特点之一。

从转录活性, 组成成份、热变性和对 DNase I 的敏感性综合分析, 可以看出, 转录活性染色质模板活性高, RNA 和非组蛋白含量丰富, 转录非活性染色质与组蛋白结合更紧密。活性染色质是一个更松散的构象, 类似于 DNA。要想阐明活性染色质与非活性染色质之间的关系, 尚需更进一步研究染色质构象的变化。

参 考 文 献

- [1] Higashinakagawa, T. et al.: *Exp. Cell Res.*, 71, 65, 1972.
- [2] Widneu & Tata: *Biochim. Biophys. Acta*, 123, 478, 1966.
- [3] Reeder, R. H. *J. Mol. Biol.*, 80, 229, 1973.
- [4] H. Busch. *Exp. Cell Res.*, 109, 151, 1977.
- [5] *Methods in Enzymology* Vol. XL Hormone Action part. E No. 8—No 14, 1975.
- [6] Phil Trans. R. Soc. Lond. B. 283, 343, 1978.
- [7] Sinclair, G. D. et al.: *Exp. Cell Res.*, 111, 1978.
- [8] Burtonk, *Biochem. J.* 62, 315, 1956.
- [9] Schjeicle, O. A.: *Anal. Biochem.* 27, 473, 1969.
- [10] Lowry, O. H. et al.: *J. Biol. Chem.* 193, 265, 1951.
- [11] Maria Gross-Bellard *Eur J. Biochem.* 36, 32, 1973.
- [12] «分子生物方法» [西德 P. Chaneira W. Appel 1973 57--61], 李中德译, 吴景校

(本文于1983年2月2日收到)

(上接第65页)

能彼此分开。用于其它肽段的分离也得到较满意的结果。

本工作曾得到戚正武和陈远聪、罗珊珊同志的指导, 慕见风同志参加部分工作。庄熙孟、张晋明拍摄照片, 一并致谢。

参 考 文 献

- [1] Wittmann Liebold, B. 在上海有机所举办的“蛋白质微量顺序测定技术”讲习班资料, 1980, 10。
- [2] Kamp, R. et al., *FEBS Letters*, 121, 117, 1980.
- [3] Chang, J. Y., *FEBS Letters*, 93, 205, 1978.
- [4] 俞鹤年、泮家秀, «生物化学与生物物理进展» 1, 41, 1981。

(本文于1983年1月18日收到)